

## КРАТКИЕ СООБЩЕНИЯ

УДК 538.69

ШИРИНА ЛИНИИ ФМР  
В ПРОВОДЯЩИХ МАГНИТНЫХ ПОЛУПРОВОДНИКАХ  $HgCr_2Se_4$ *Н. А. Виглин, А. А. Самохвалов, Н. М. Чеботаев, Б. А. Гижевский*

Ширина линии ФМР характеризует магнитные потери в ферромагнетике и является одним из основных параметров, определяющих пригодность материала для использования в СВЧ технике. В магнитных веществах с достаточно высокой проводимостью возникает дополнительный вклад в  $\Delta H_{\text{ФМР}}$  за счет джоулевых потерь на вихревые токи [1]

$$\Delta H_{\text{провод}} = \frac{4}{45} \epsilon'' 4\pi M_0 \left( \frac{\omega R}{c} \right)^2, \quad (1)$$

где  $\epsilon'' = 4\pi \sigma_\omega / \omega$  — мнимая часть диэлектрической проницаемости ( $\sigma_\omega$  — проводимость на частоте  $\omega$ );  $M_0$  — намагниченность насыщения;  $R$  — радиус сферического образца;  $\omega/c$  — волновое число электромагнитных волн в свободном пространстве.

Учет электропроводности и связанного с ней механизма потерь за счет вихревых токов становится весьма важным при выборе материалов, пригодных в качестве среды для усиления спиновых волн носителями заряда [2]. Усиление может быть эффективным лишь в проводящих материалах с достаточно высокой концентрацией носителей заряда, но, с другой стороны, для усиления необходимы материалы с высокой магнитной добротностью, имеющие обычно низкую проводимость.

Магнитный полупроводник  $HgCr_2Se_4$  имеет высокую для этого класса веществ подвижность носителей заряда ( $\geq 0.1 \text{ м}^2/\text{В}\cdot\text{с}$ ) и в нем можно создавать концентрацию носителей до  $10^{25} \text{ м}^{-3}$  [3], что делает его благоприятным объектом для исследования явлений сильного электрон-магнитного взаимодействия.

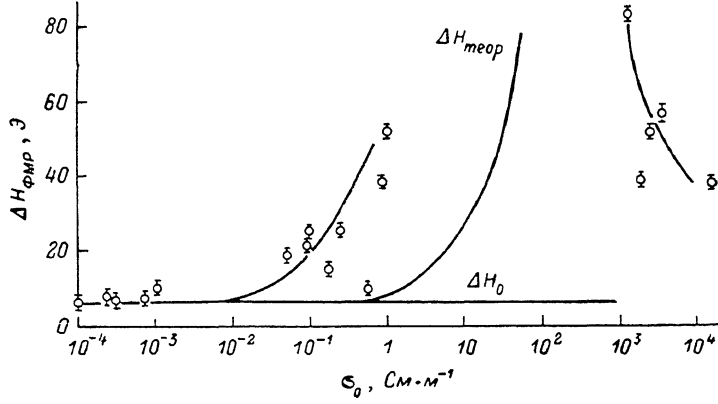
Были исследованы ширина линии ФМР и электропроводность кристаллов  $HgCr_2Se_4$  *p*- и *n*-типа. Электропроводность на постоянном токе при 77 К лежала в пределах от  $10^{-4}$  до  $2 \cdot 10^5 \text{ см} \cdot \text{м}^{-1}$ .

На ряде образцов проводились измерения  $\sigma_\omega$  в диапазоне частот  $5 \cdot 10^4$ — $2 \cdot 10^8$  Гц с помощью куметров. На частоте  $10^{10}$  Гц измерялись только образцы с  $\sigma_0 < 1 \text{ См} \cdot \text{м}^{-1}$ , поскольку резонаторная методика, используемая в этом случае, не позволяет измерять низкоомные образцы. В образцах с  $\sigma_0 > 10^{-2} \text{ см} \cdot \text{м}^{-1}$  на всех частотах дисперсия  $\sigma_\omega$  практически отсутствует и по величине  $\sigma_\omega$  близка (несколько больше) к  $\sigma_0$ . Только в образцах с  $\sigma_0 < 10^{-3}$  наблюдалась дисперсия  $\sigma_\omega$ . Однако вклад в  $\Delta H$ , рассчитанный по формуле (1) даже с учетом того, что  $\sigma_\omega / \sigma_0 = 10 \div 10^2$  в этих образцах, практически равен нулю. Поэтому для оценок  $\Delta H$  по формуле (1) использовались значения  $\sigma_0$ . Заметим, что отсутствие явной зависимости  $\sigma_\omega$  от  $\omega$  в проводящих образцах свидетельствует об их однородности.

Подготовка образцов к измерениям ФМР проводилась по известной методике [4, 5]. Измерения проводились на частоте 9.3 ГГц при 77 К, поскольку при этой температуре достигается минимальная ширина линии ФМР и практически отсутствует анизотропия  $\Delta H_{\text{ФМР}}$  [4, 5].

На рисунке изображена экспериментальная зависимость ширины линии ФМР в  $\text{HgCr}_2\text{Se}_4$  от электропроводности  $\sigma_0$  и соответствующая теоретическая зависимость, рассчитанная по формуле (1). Под величиной  $\Delta H_0$  подразумевается минимальная из экспериментально полученных ширин линий для самого высокоомного образца, так как в этом образце вклад в  $\Delta H$  за счет вихревых токов пренебрежимо мал. Видно, что теория потерь за счет электропроводности предсказывает существенное уширение линии лишь при  $\sigma_0 > 1 \text{ см} \cdot \text{м}^{-1}$ , однако практически все экспериментальные точки, начиная с  $\sigma_0 \sim 5 \cdot 10^{-1} \text{ см} \cdot \text{м}^{-1}$  и вплоть до  $\sigma_0 \sim 1 \text{ См} \cdot \text{м}^{-1}$ , находятся выше теоретической кривой.

Можно предполагать, что во всех образцах  $\text{HgCr}_2\text{Se}_4$  содержится некоторое количество доноров. Подтверждается это тем, что все они дефектны одновременно по анионной и катионной подрешеткам [6]. Кроме того, все выращенные кристаллы переходят при понижении температуры от дырочного типа проводимости к электронному, если они сразу же не переведены к  $n$ -типу проводимости дополнительной термообработкой [3].



Зависимость ширины линии ФМР от электропроводности в  $\text{HgCr}_2\text{Se}_4$ .

Эти донорные центры принято связывать с наличием комплексов, содержащих двухвалентный хром около вакансии по халькогену [5]. Рентгеновским способом удается оценить только верхний предел концентрации таких дефектов, а по величине электропроводности можно судить лишь об относительном их содержании в серии образцов [6].

Можно полагать, что дополнительный вклад в  $\Delta H_{\text{ФМР}}$  в образцах с  $\sigma_0 = 10^{-4} \div 1 \text{ см} \cdot \text{м}^{-1}$  (см. рисунок), вызывающий расхождение с теоретической кривой, обусловлен наличием указанных донорных центров. Подтверждается это тем, что все образцы с  $\Delta H \leq 10 \text{ Э}$  — это образцы  $n$ -типа при 77 К, но с дырочным типом проводимости при комнатной температуре и, следовательно, содержат меньше доноров, чем образцы с  $\Delta H > 10 \text{ Э}$ , подавляющее большинство которых уже при комнатной температуре  $n$ -типа. Так, из трех образцов с  $\sigma_0$  порядка  $1 \text{ См} \cdot \text{м}^{-1}$  один при 300 К имеет дырочный тип проводимости и  $\Delta H_{\text{ФМР}} \sim 10 \text{ Э}$ , а два других при 300 К —  $n$ -типа и ширина линии ФМР соответственно 40 и 55 Э.

Теория потерь за счет вихревых токов [1] не учитывает скин-эффекта, следовательно, границей применимости выражения (1) следует считать проводимость, при которой скин-слой становится порядка размера образца (в нашем случае порядка  $10^2 \text{ См} \cdot \text{м}^{-1}$ ). Для расчета вклада в ширину линии ФМР в случае, когда глубина скин-слоя становится меньше размера образца, необходимо знать высокочастотную намагниченность в скин-слое. Решение этой задачи весьма трудоемко, однако для приближенных оценок можно воспользоваться качественными моделями, например «оболочечной», использовавшейся в [7, 8]. Эта модель основана на том, что внешнее электромагнитное поле создает в поверхностном слое образца

неоднородное размагничивающее поле, зависящее от координат точки внутри скин-слоя. Основным допущением модели является то, что различные области в «оболочке» считаются невзаимодействующими при ФМР, что позволяет получить достаточно простое уравнение, связывающее резонансные частоту, поле и координаты точки в скин-слое [8]

$$\left(\frac{\omega}{\gamma}\right)^2 = H^2 - H \frac{4\pi M_0}{3} \frac{a^3}{r^3} (2 - \sin^2 \vartheta) + \left(\frac{4\pi M_0}{3}\right)^2 \frac{a^6}{r^6} (1 - \sin^2 \vartheta), \quad (2)$$

где  $a=R-\delta$ ,  $R$  — радиус,  $\delta$  — глубина скин-слоя;  $\vartheta, r$  — сферические координаты ( $r$  меняется от  $a$  до  $R$ ).

Видно, что ферромагнитный резонанс становится неоднородным, поскольку резонансные условия зависят от координат. По стандартной методике нахождения функции плотности состояний нами из уравнения (2) была получена функция распределения от магнитного поля областей с одинаковыми резонансными условиями. Эта функция характеризует неоднородное уширение и по ней можно оценить  $\Delta H_{\text{ФМР}}$ . Было установлено, что неоднородное уширение максимальное, когда  $\delta$  и  $R$  одного порядка и уменьшаются с ростом проводимости (и уменьшением  $\delta$ ). Такое поведение неоднородного уширения наблюдалось и в [8]. Полученные нами значения  $\Delta H_{\text{ФМР}}$  порядка 80–50 Э при  $\sigma_0 \sim (4 \div 7) \cdot 10^3 \text{ См} \cdot \text{м}^{-1}$  находятся в разумном согласии с экспериментом. Заметим что отбрасывание параметра  $a/r$  в уравнении (2), как это было сделано в [7], приводит к независимости неоднородного уширения от электропроводности.

Таким образом, ширина линии ФМР в  $\text{HgCr}_2\text{Se}_4$  с электропроводностью от  $10^{-4}$  до  $1 \text{ См} \cdot \text{м}^{-1}$  существенно зависит от концентрации донорных центров. В образцах с большей электропроводностью  $\Delta H_{\text{ФМР}}$  удовлетворительно описывается неоднородным уширением в рамках «оболочечной» модели. Сравнительно небольшие значения ширины линии ФМР ( $\sim 80$ –40) Э при  $\sigma_0 \geq 10^3 \text{ См} \cdot \text{м}^{-1}$  дали возможность использовать  $\text{HgCr}_2\text{Se}_4$  в качестве среды для реализации усиления спиновых волн носителями заряда [9].

#### Л и т е р а т у р а

- [1] Гуревич А. Г. Магнитный резонанс в ферритах и антиферромагнетиках. М.: Наука, 1973. 592 с.
- [2] Samokhvalov A. A., Osipov V. V., Solin N. I., Gunichev A. F., Korenblit I. A., Gal-dikas A. P. JMMM, 1984, vol. 46, N 1, 2, p. 191–198.
- [3] Goldstein L., Gibart P., Selmi A. J. Appl. Phys., 1978, vol. 49, N 3, p. 1474–1476.
- [4] Виглин Н. А., Самохвалов А. А., Солин Н. И., Симонова М. И. ФТТ, 1984, т. 26, № 4, с. 1230–1231.
- [5] Эмирян Л. М., Гуревич А. Г., Шукюров А. С., Бержанский В. Н. ФТТ, 1981, т. 23, № 10, с. 2916–2922.
- [6] Чеботаев Н. М., Симонова М. И., Арбузова Т. И., Гижевский Б. А., Самохвалов А. А. Изв. АН СССР, Неорган. материалы, 1985, т. 21, № 9, с. 1468–1470.
- [7] Никифоров К. Г., Гуревич А. Г., Пасенко Л. Я., Радауцан С. И., Эмирян Л. М. ФТТ, 1985, т. 27, № 8, с. 2424–2427.
- [8] Marysko M. Czech. J. Phys., 1974, vol. B24, N 12, p. 1379–1397.
- [9] Солин Н. И., Самохвалов А. А., Шумилов И. Ю. Письма в ЖЭТФ, 1986, т. 44, № 10, с. 464–466.

Институт физики металлов  
УрО АН СССР  
Свердловск

Поступило в Редакцию  
9 января 1987 г.